

ОСОБЕННОСТИ ОЧАГОВОГО ТЕПЛООВОГО ВОСПЛАМЕНЕНИЯ ПРИ РАЗЛИЧНЫХ НАЧАЛЬНЫХ РАСПРЕДЕЛЕНИЯХ ТЕМПЕРАТУРЫ

А. Г. Князева, Р. С. Буркина, В. Н. Виллонов

(Томск)

Очаговый тепловой взрыв наиболее полно исследован в случае равномерного начального распределения температуры [1—5]. Установлено [1, 2, 5], что критическое значение параметра Франк-Каменецкого δ_* определяется слабой логарифмической зависимостью от температурного напора Θ_0 . При этом если начальное распределение температуры близко к П-образному профилю, то критериальное соотношение $\delta_*(\Theta_0)$ практически не зависит от выгорания реагента в веществе [1, 2]. В [6] вскрыто существенное влияние профиля начального распределения температуры на зависимость $\delta_*(\Theta_0)$.

В настоящей работе численно исследуется температурный режим очага для различных начальных распределений температуры, определяются соответствующие зависимости $\delta_*(\Theta_0)$. Анализируется влияние выгорания реагента на процесс воспламенения.

Математическая формулировка задачи имеет вид [1, 6]

$$\frac{\partial \Theta}{\partial \tau} = \delta^{-1} \frac{1}{\xi^2} \frac{\partial}{\partial \xi} \left(\xi^2 \frac{\partial \Theta}{\partial \xi} \right) + (1 - Y)^n \exp \left(\frac{\Theta}{1 + \beta \Theta} \right), \quad (1)$$

$$\frac{\partial Y}{\partial \tau} = \delta^{-1} \text{Le} \frac{1}{\xi^2} \frac{\partial}{\partial \xi} \left(\xi^2 \frac{\partial Y}{\partial \xi} \right) + \gamma (1 - Y)^n \exp \left(\frac{\Theta}{1 + \beta \Theta} \right). \quad (2)$$

Начальные и граничные условия:

$$\Theta(\xi, 0) = \Theta_0 [f(\xi) - 1], \quad Y(\xi, 0) = 0, \quad (3)$$

$$\frac{\partial \Theta(0, \tau)}{\partial \xi} = \frac{\partial \Theta(\infty, \tau)}{\partial \xi} = \frac{\partial Y(0, \tau)}{\partial \xi} = \frac{\partial Y(\infty, \tau)}{\partial \xi}, \quad (4)$$

где $\Theta = E(T - T_0)/RT_0^2$, $\xi = x/r$, $\tau = t/t_{ад}$ — безразмерные температура, пространственная и временная переменные; Θ_0 , Le, γ , β — общепринятые параметры теории воспламенения.

Процесс воспламенения анализировали для четырех вариантов начального распределения температуры в (3), симметричного относительно центра очага: а) линейное $f(\xi) = (1 - |\xi|)\eta(1 - |\xi|)$, б) экспоненциальное $f(\xi) = \exp(-2|\xi|/\pi)$, в) вероятностное $f(\xi) = \exp(-\xi^2)$ и г) П-образное $f(\xi) = \eta(|\xi| - 1)$.

Численная реализация системы (1)–(4) проводилась по неявной разностной схеме методом прогонки. Сгущение расчетной сетки в центре очага достигалось переходом из бесконечной пространственной области $[0, \infty[$ в конечную с помощью преобразования $x = 1/(1 + \xi)$. Точность счета 4% достигалась подбором шага по координате и соответствующего числа Куранта. Параметры, определяющие процесс, изменялись в следующих пределах: $10 \leq \Theta_0 \leq 50$, $0 \leq \text{Le} \leq 5$, $0,001 \leq \gamma \leq 0,1$, $0 \leq n \leq 3$, $\beta = 0,5/\Theta_0$.

Поведение температуры $\Theta(0, \tau)$ и выгорания $Y(0, \tau)$ в центре очага для линейного начального распределения температуры показано на рис. 1. Видно, что рассматриваемый случай, в отличие от П-образного [1], характеризуется двумя критическими значениями параметра Франк-Каменецкого δ'_* и δ''_* . Для $\delta \geq \delta'_*$ температура очага монотонно возрастает (кривая I), и при $\tau \approx 2$ происходит воспламенение. Изменение пространственного распределения температуры на этапе воспламенения идет только в узкой зоне у центра очага ($\xi_p \approx 0,05$). Выгорание реагента сказывается лишь вблизи $\xi = 0$. Кривая I' показывает, что к моменту воспламенения реагент в центре очага практически полностью выгорает.

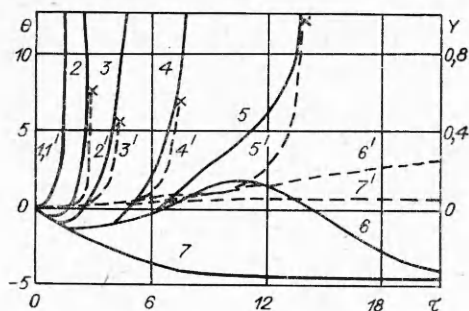


Рис. 1. Зависимость температуры (сплошные линии) и глубины превращения вещества (штриховые) в центре очага от времени при линейном начальном распределении для реакции первого порядка; $\Theta_0 = 20$, $\gamma = 0,01$, $Le = 0$, $n = 1$.

δ : 1, 1' — 23 000, 2, 2' — 15 425, 3, 3' — 4220, 4, 4' — 3000, 5, 5' — 2870, 6, 6' — 2830, 7, 7' — 1490.

При $\delta_*'' < \delta < \delta_*'$ температура сначала падает, что связано с радиальным перераспределением начального температурного профиля $f(\xi)$ и недостаточным теплоприходом от химических реакций для его поддержания в центре. В дальнейшем профиль $\Theta(0, \tau)$ стабилизируется, химическая реакция приводит к росту температуры в очаге и последующему воспламенению (кривые 2—5). Такой режим может существовать длительное время. Так, при $\delta \geq \delta_*''$ время воспламенения $\tau_b \approx 12$ (см. рис. 1, 4, 5). Выгорание реагента также зависит от значения δ . При изменении δ от δ_*' до δ_*'' выгорание сначала уменьшается (кривые 2', 3'), что связано с изменением температурного профиля, а затем возрастает (кривые 4', 5') в результате увеличения τ_b .

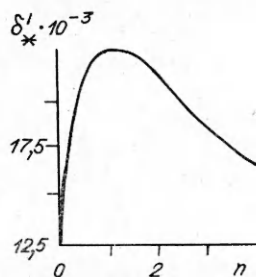
Заметим, что область изменения $\delta \in [\delta_*'', \delta_*']$ в рассмотренном случае линейного начального распределения температуры достаточно велика (почти на порядок превосходит δ_*'').

При $\delta \leq \delta_*''$ решающую роль на развитие процесса оказывает теплоотдача с границ очага. В результате уменьшаются геометрические размеры очага, и он постепенно остывает (см. рис. 1, 6). При малых значениях параметра Франк-Каменецкого температура в центре очага монотонно падает (см. рис. 1, 7). Выгорание в этом режиме остается незначительным.

Проведенные расчеты показали, что варьирование n , Le и γ практически не влияет на δ_*'' , а δ_*' существенно зависит лишь от порядка реакции. Зависимость $\delta_*'(n)$ имеет максимум в окрестности $n \approx 1$ (рис. 2). Выгорание увеличивается с ростом γ и при уменьшении Le , n . Характер зависимости выгорания от времени при различных n , Le , γ такой же, как и при $n = 1$, $Le = 0$, $\gamma = 0,01$. Основное выгорание происходит в момент воспламенения (см. рис. 1).

Процесс воспламенения очага разогрева происходит аналогично в случае экспоненциальной зависимости $f(\xi)$. Для вероятностного и П-образного распределений $f(\xi)$ режим воспламенения, соответствующий $\delta \in [\delta_*'', \delta_*']$, отсутствует. Процесс характеризуется одним значением δ_* . Данное обстоятельство связано с тем, что гладкие температурные профили уже в начальный момент времени удовлетворяют условию $(\partial f / \partial \xi)_{\xi \rightarrow 0} = 0$. В результате рассмотренная выше перестройка начального температурного профиля и связанное с этим понижение темпера-

Рис. 2. Зависимость критического значения параметра δ_*' , разделяющего термические режимы в очаге, от порядка реакции для линейного распределения начальной энергии. $f(\xi) = (1 - |\xi|) \times \eta(1 - |\xi|)$, $\Theta_0 = 20$, $Le = 0$, $\gamma = 0,01$.



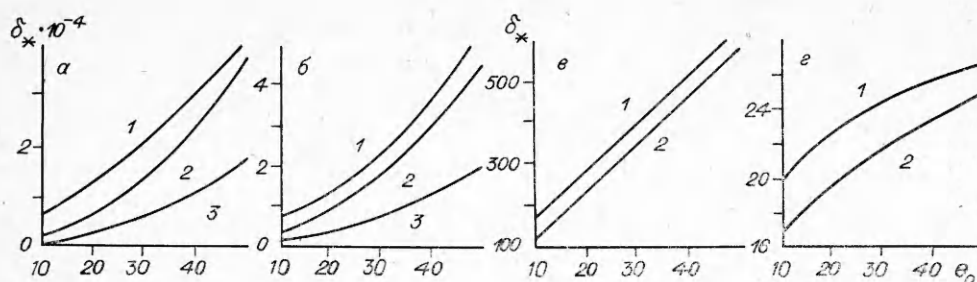


Рис. 3. Зависимости $\delta_*(\Theta_0)$ для различных начальных распределений температуры; $n = 0$.

$f(\xi)$: а) $(1-|\xi|)\eta(1-|\xi|)$, б) $\exp(-2|\xi|/\sqrt{\pi})$, в) $\exp(-\xi^2)$, г) $\eta(|\xi|-1)$;

1 — δ'_* для функций а, б и о* для в, г; 2 — δ_* [6]; 3 — δ''_* .

туры в центре очага отсутствуют. Изменение пространственного распределения температуры для этих режимов показывает, что реакция развивается на всем характерном размере начального очага. Влияние выгорания на δ_* и развитие процесса несущественно. Подробно картина поведения $\Theta(0, \tau)$ для П-образного начального разогрева рассмотрена в [1].

Зависимости $\delta'_*(\Theta_0)$, $\delta''_*(\Theta_0)$ и $\delta_*(\Theta_0)$ для рассмотренных случаев начального распределения приведены на рис. 3. С асимптотическим значением $\delta_*(\Theta_0)$, полученным в [6], хорошо согласуется зависимость $\delta'_*(\Theta_0)$ для первых двух распределений $f(\xi)$ и $\delta_*(\Theta_0)$ в случае гладких начальных температурных профилей.

В качестве примера рассмотрим воспламенение гексогена по нулевому порядку реакции для двух начальных распределений температуры с одинаковым запасом энергии: $f_1(\xi) = \exp(-\xi^2)$ и $f_2(\xi) = \exp(-2|\xi|/\sqrt{\pi})$. Физико-химические характеристики взяты из [7], $T_0 = 573$ К, $T_u = 273$ К. Переход к безразмерным переменным дает $\Theta_0 = 19,1$, $\beta = 0,027$. Численный счет уравнения (1) с условиями (3), (4) определяет критические характеристики: $\delta_* = 1234,3$, $\tau_* = 6,2$ для $f_1(\xi)$ и $\delta'_* = 12181$, $\delta''_* = 2938$, $\tau_* = 17,34$ для $f_2(\xi)$. Соответствующие размерные величины принимают значения: в первом случае — критический радиус $r_* = 0,63 \cdot 10^{-3}$ м, $t_* = 32,46$ с; во втором — $r''_* = 2,13 \cdot 10^{-3}$ м, $t''_* = 90,72$ с. Монотонное повышение температуры в центре очага для второго начального распределения обеспечивается лишь при $r > 4,35 \cdot 10^{-3}$ м, время воспламенения в этом случае менее 10,2 с. При увеличении T_0 критический радиус уменьшается. Так, при $T_0 = 1273$ К в первом случае $r_* = 3,3 \cdot 10^{-7}$ м, а во втором $r''_* = 1,4 \cdot 10^{-7}$ м.

ЛИТЕРАТУРА

1. Мержанов А. Г., Барзыкин В. В., Гонтковская В. Т. Докл. АН СССР, 1963, 148, 2, 380.
2. Merzhanov A. G. Comb. Flame, 1966, 10, 4, 341.
3. Thomas P. H. Comb. Flame, 1973, 21, 1, 99.
4. Zatorska M. V. Comb. Flame, 1975, 25, 1, 25.
5. Буркина Р. С., Вилюнов В. Н. ФГВ, 1980, 16, 4, 75.
6. Буркина Р. С., Вилюнов В. Н. Хим. физика, 1982, 1, 3, 419.
7. Страковский Л. Г., Уляков П. И. — В кн.: Химическая физика процессов горения и взрыва. Горение конденсированных систем. — Черноголовка, 1977.

Поступила в редакцию 9/VI 1986